

	<p align="center"><b>GPS – Surface texture: Profile method</b>          Terms, definitions and surface texture parameters          (ISO 4287 : 1997)          English version of DIN EN ISO 4287</p>	<p align="center"><b>DIN</b>  <b>EN ISO 4287</b></p>
--	--	--

ICS 01.040.17; 17.040.20

Supersedes DIN 4762,  
January 1989 edition.

Descriptors: GPS, surface texture, concepts.

Geometrische Produktspezifikationen (GPS) – Oberflächenbeschaffenheit: Tastschnittverfahren – Benennungen, Definitionen und Kenngrößen der Oberflächenbeschaffenheit (ISO 4287 : 1997)

**European Standard EN ISO 4287 : 1998 has the status of a DIN Standard.**

### National foreword

This standard has been published in accordance with a decision taken by CEN/TC 290 to adopt, without alteration, International Standard ISO 4287 as a European Standard.

The responsible German body involved in its preparation was the *Normenausschuß Technische Grundlagen* (Fundamentals in Technology Standards Committee).

The DIN Standards corresponding to the International Standards referred to in clause 2 of the EN are as follows:

ISO 3274    DIN EN ISO 3274  
 ISO 4288    DIN EN ISO 4288  
 ISO 11562    DIN EN ISO 11562

### Amendments

DIN 4762, January 1989 edition, has been superseded by the specifications of EN ISO 4287.

### Previous editions

DIN 4762-1: 1960-08; DIN 4762-2: 1960-08; DIN 4762: 1952-02, 1989-01.

### National Annex NA

#### Standards referred to

(and not included in **Normative references** and **Annex ZA**)

DIN EN ISO 3274    GPS – Surface texture: Profile method – Nominal characteristics of contact (stylus) instruments (ISO 3274 : 1996)  
 DIN EN ISO 4288    GPS – Surface texture: Profile method – Rules and procedures for the assessment of surface texture (ISO 4288 : 1996)  
 DIN EN ISO 11562    GPS – Surface texture: Profile method – Metrological characteristics of phase correct filters (ISO 11562 : 1996)

EN comprises 27 pages.



---

ICS 01.040.17; 17.040.20

Descriptors: GPS, surface texture, concepts.

**English version**

Geometrical product specifications (GPS)  
**Surface texture: Profile method**  
Terms, definitions and surface texture parameters  
(ISO 4287 : 1997)

Spécification géométrique des  
produits (GPS) – État de surface:  
Méthode du profil – Termes,  
définitions et paramètres d'état de  
surface (ISO 4287 : 1997)

Geometrische Produktspezifikationen  
(GPS) – Oberflächenbeschaffenheit:  
Tastschnittverfahren – Benennungen,  
Definitionen und Kenngrößen der  
Oberflächenbeschaffenheit  
(ISO 4287 : 1997)

This European Standard was approved by CEN on 1998-01-26.

CEN members are bound to comply with the CEN/CENELEC Internal Regulations which stipulate the conditions for giving this European Standard the status of a national standard without any alteration.

Up-to-date lists and bibliographical references concerning such national standards may be obtained on application to the Central Secretariat or to any CEN member.

The European Standards exist in three official versions (English, French, German). A version in any other language made by translation under the responsibility of a CEN member into its own language and notified to the Central Secretariat has the same status as the official versions.

CEN members are the national standards bodies of Austria, Belgium, the Czech Republic, Denmark, Finland, France, Germany, Greece, Iceland, Ireland, Italy, Luxembourg, the Netherlands, Norway, Portugal, Spain, Sweden, Switzerland, and the United Kingdom.

**CEN**

European Committee for Standardization  
Comité Européen de Normalisation  
Europäisches Komitee für Normung

**Central Secretariat: rue de Stassart 36, B-1050 Brussels**

## Foreword

International Standard

ISO 4287 : 1997 Geometrical product specifications (GPS) – Surface texture: Profile method – Terms, definitions and surface texture parameters,

which was prepared by ISO/TC 213 'Dimensional and geometrical product specifications and verification' (formerly ISO/TC 57) of the International Organization for Standardization, has been adopted by Technical Committee CEN/TC 290 'Dimensional and geometrical product specifications and verification', the Secretariat of which is held by DIN, as a European Standard.

This European Standard shall be given the status of a national standard, either by publication of an identical text or by endorsement, and conflicting national standards withdrawn, by February 1999 at the latest.

In accordance with the CEN/CENELEC Internal Regulations, the national standards organizations of the following countries are bound to implement this European Standard:

Austria, Belgium, the Czech Republic, Denmark, Finland, France, Germany, Greece, Iceland, Ireland, Italy, Luxembourg, the Netherlands, Norway, Portugal, Spain, Sweden, Switzerland, and the United Kingdom.

## Endorsement notice

The text of the International Standard ISO 4287 : 1997 was approved by CEN as a European Standard without any modification.

NOTE: Normative references to international publications are listed in Annex ZA (normative).

## Contents

	<b>Page</b>
<b>1</b> Scope .....	<b>3</b>
<b>2</b> Normative references .....	<b>3</b>
<b>3</b> Terms and definitions .....	<b>4</b>
<b>3.1</b> General terms .....	<b>4</b>
<b>3.2</b> Geometrical parameter terms.....	<b>8</b>
<b>4</b> Surface profile parameter definitions.....	<b>12</b>
<b>4.1</b> Amplitude parameters (peak and valley).....	<b>12</b>
<b>4.2</b> Amplitude parameters (average of ordinates) .....	<b>15</b>
<b>4.3</b> Spacing parameters.....	<b>17</b>
<b>4.4</b> Hybrid parameters .....	<b>17</b>
<b>4.5</b> Curves and related parameters.....	<b>18</b>

## Annexes

<b>A</b> Text equivalents	<b>21</b>
<b>B</b> Flowchart for surface assessment	<b>22</b>
<b>C</b> Comparison of basic terms and parameter symbols between ISO 4287-1:1984 and ISO 4287:1996	<b>23</b>
<b>D</b> Relationship to the GPS matrix model	<b>25</b>
<b>E</b> Bibliography	<b>27</b>

## Introduction

This International Standard is a Geometrical Product Specification (GPS) standard and is to be regarded as a General GPS standard (see ISO/TR 14638). It influences chain link 2 of the chains of standards on surface texture.

For more detailed information on the relationship of this International Standard to other standards and the GPS matrix model, see annex E.

Historically, the roughness profile and its parameters have been the only parts of surface texture characterization that have been well defined.

A default relationship between  $\lambda_c$  and  $\lambda_f$  is under consideration.

## 1 Scope

This International Standard specifies terms, definitions and parameters for the determination of surface texture (roughness, waviness and primary profile) by profiling methods.

## 2 Normative references

The following standards contain provisions which, through reference in this text, constitute provisions of this International Standard. At the time of publication, the editions indicated were valid. All standards are subject to revision, and parties to agreements based on this International Standard are encouraged to investigate the possibility of applying the most recent editions of the standards indicated below. Members of IEC and ISO maintain registers of currently valid International Standards.

ISO 3274:1996, *Geometrical Product Specifications (GPS) — Surface texture: Profile method — Nominal characteristics of contact (stylus) instruments.*

ISO 4288:1996, *Geometrical Product Specifications (GPS) — Surface texture: Profile method — Rules and procedures for the assessment of surface texture.*

ISO 11562:1996, *Geometrical Product Specifications (GPS) — Surface texture: Profile method — Metrological characterization of phase correct filters.*

## 1 Domaine d'application

La présente Norme internationale prescrit les termes, définitions et paramètres pour la détermination de l'état de surface (profils de rugosité, d'ondulation et profil primaire) par les méthodes de profil.

## 2 Références normatives

Les normes suivantes contiennent des dispositions qui, par suite de la référence qui en est faite, constituent des dispositions valables pour la présente Norme internationale. Au moment de la publication, les éditions indiquées étaient en vigueur. Toute norme est sujette à révision et les parties prenantes des accords fondés sur la présente Norme internationale sont invitées à rechercher la possibilité d'appliquer les éditions les plus récentes des normes indiquées ci-après. Les membres de la CEI et de l'ISO possèdent le registre des Normes internationales en vigueur à un moment donné.

ISO 3274:1996, *Spécification géométrique des produits (GPS) — État de surface: Méthode du profil — Caractéristiques nominales des instruments à contact (palpeur).*

ISO 4288:1996, *Spécification géométrique des produits (GPS) — État de surface: Méthode du profil — Règles et procédures pour l'évaluation de l'état de surface.*

ISO 11562:1996, *Spécification géométrique des produits (GPS) — État de surface: Méthode du profil — Caractéristiques métrologiques des filtres à phase correcte.*

### 3 Terms and definitions

#### 3.1 General terms

##### 3.1.1 profile filter

filter which separates profiles into longwave and shortwave components [ISO 11562]

NOTE — There are three filters used in instruments for measuring roughness, waviness and primary profiles (see figure 1). They all have the same transmission characteristics, defined in ISO 11562, but different cut-off wavelengths.

##### 3.1.1.1 $\lambda_s$ profile filter

filter which defines the intersection between the roughness and the even shorter wave components present in a surface (see figure 1)

##### 3.1.1.2 $\lambda_c$ profile filter

filter which defines the intersection between the roughness and waviness components (see figure 1)

##### 3.1.1.3 $\lambda_f$ profile filter

filter which defines the intersection between the waviness and the even longer wave components present in a surface (see figure 1)

### 3 Termes et définitions

#### 3.1 Définitions générales

##### 3.1.1 filtre de profil

filtre qui sépare le profil en composantes de longueur d'onde longue et composantes de longueur d'onde courte [ISO 11562]

NOTE — Trois filtres sont utilisés dans les instruments de mesure des profils de rugosité, d'ondulation et du profil primaire (voir la figure 1). Ils ont tous les mêmes caractéristiques de transmission, définies dans l'ISO 11562, mais des longueurs d'onde de coupure différentes.

##### 3.1.1.1 filtre de profil $\lambda_s$

filtre qui définit la séparation entre les composantes de rugosité et les composantes d'onde encore plus courtes présentes à la surface (voir la figure 1)

##### 3.1.1.2 filtre de profil $\lambda_c$

filtre qui définit la séparation entre les composantes de rugosité et les composantes d'ondulation (voir la figure 1)

##### 3.1.1.3 filtre de profil $\lambda_f$

filtre qui définit la séparation entre les composantes d'ondulation et les composantes d'onde encore plus longues présentes à la surface (voir la figure 1)

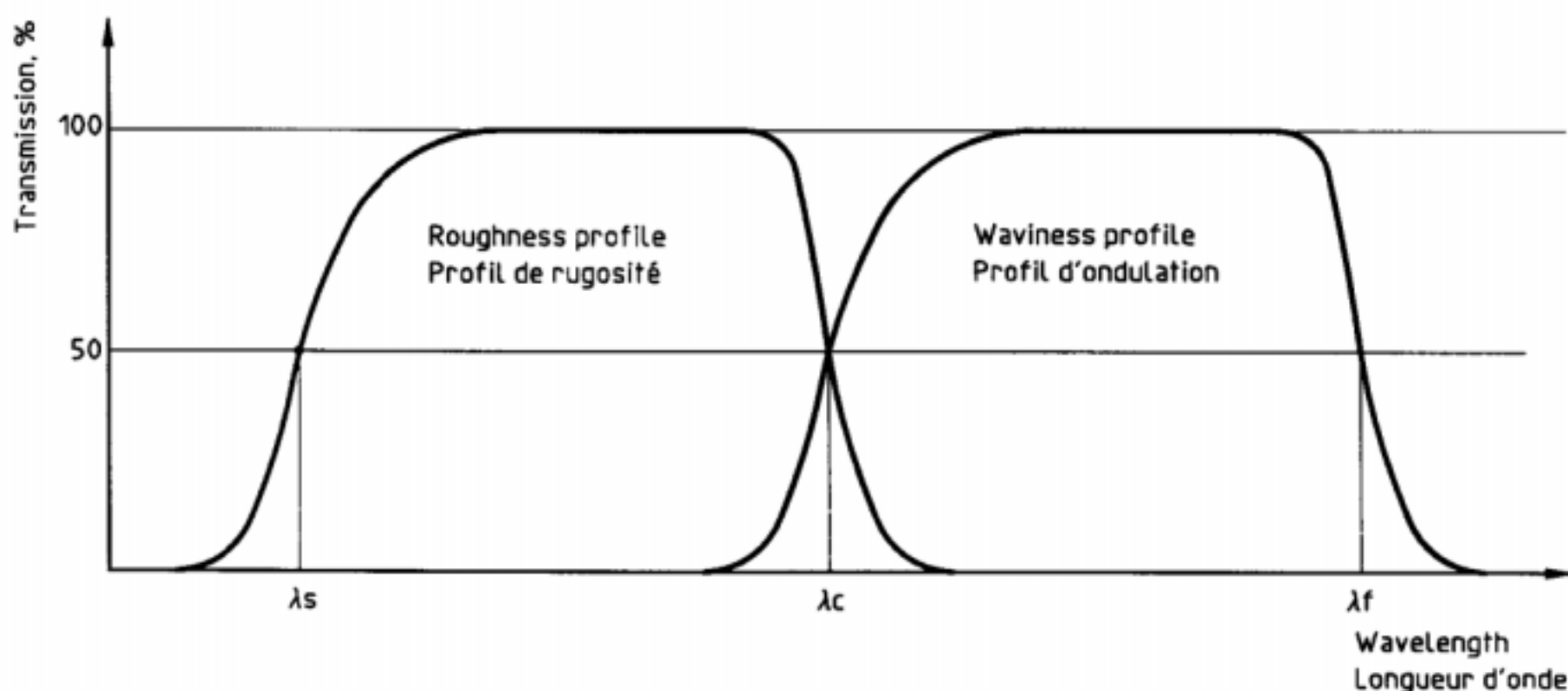


Figure 1 — Transmission characteristic of roughness and waviness profiles  
Figure 1 — Caractéristiques de transmission des profils de rugosité et d'ondulation

**3.1.2**  
**coordinate system**

that coordinate system in which surface texture parameters are defined

NOTE — It is usual to use a rectangular coordinate system in which the axes form a right-handed Cartesian set, the *X*-axis being the direction of tracing colinear with the mean line, the *Y*-axis also nominally lying on the real surface, and the *Z*-axis being in an outward direction (from the material to the surrounding medium). This convention is adopted throughout the rest of this International Standard.

**3.1.3**  
**real surface**

surface limiting the body and separating it from the surrounding medium

**3.1.4**  
**surface profile**

profile that results from the intersection of the real surface by a specified plane

See figure 2.

NOTE — In practice, it is usual to choose a plane with a normal that nominally lies parallel to the real surface and in a suitable direction.

**3.1.2**  
**système de coordonnées**

système de coordonnées dans lequel les paramètres d'état de surface sont définis

NOTE — Il est courant d'utiliser un système orthogonal de coordonnées cartésiennes de sens direct, l'axe des *X* étant dans la direction du palpement et confondu avec la ligne moyenne, l'axe des *Y* étant théoriquement dans le plan de la surface réelle, et l'axe des *Z* étant dirigé vers l'extérieur (de la matière vers le milieu environnant). Cette convention est celle adoptée tout au long de la présente Norme internationale.

**3.1.3**  
**surface réelle**

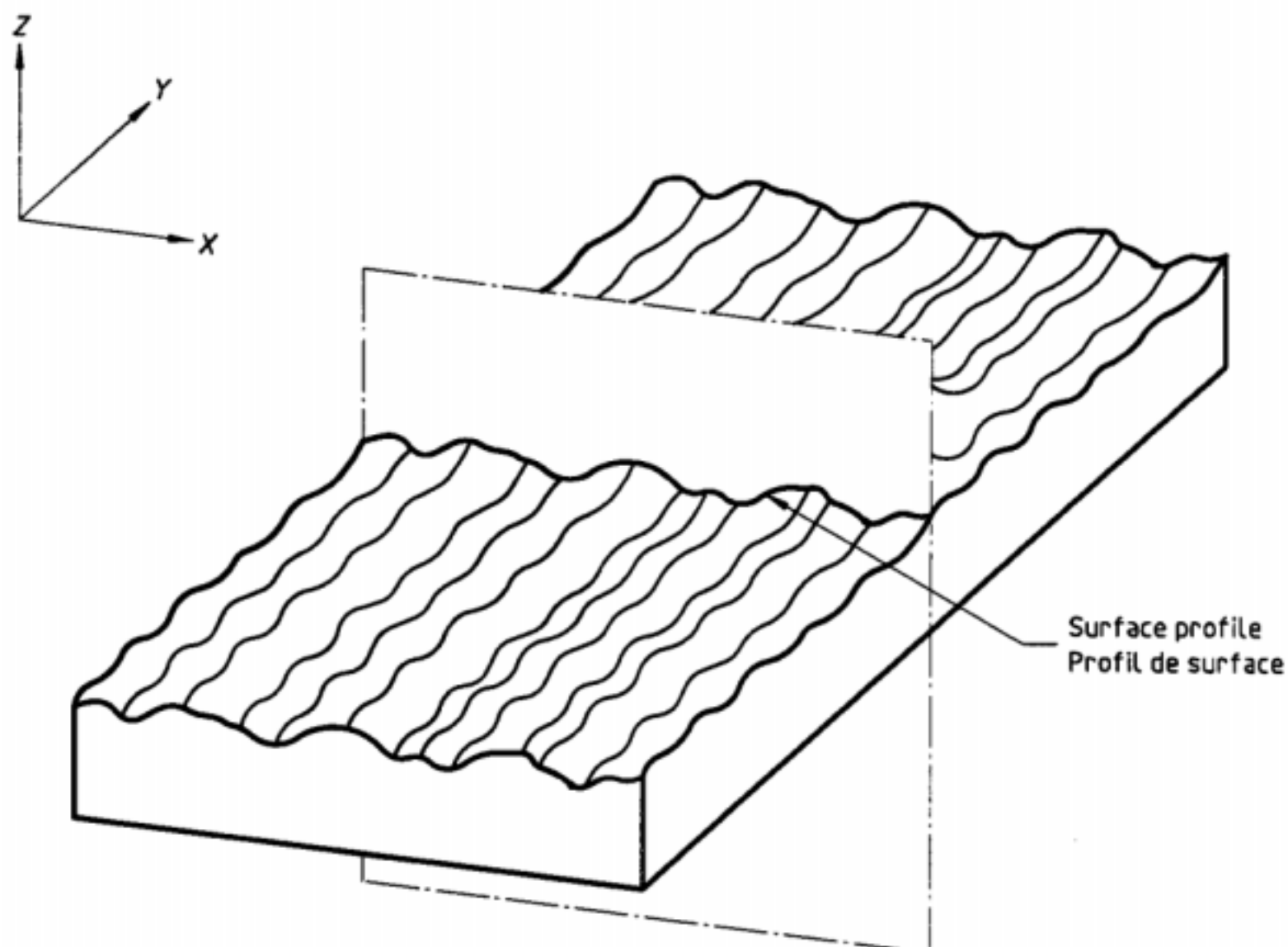
surface qui limite le corps et le sépare du milieu environnant

**3.1.4**  
**profil de surface**

profil résultant de l'intersection de la surface réelle et d'un plan spécifié

Voir la figure 2.

NOTE — En pratique, il est courant de choisir un plan dont une normale est théoriquement parallèle à la surface réelle et de direction appropriée.



**Figure 2 — Surface profile**  
**Figure 2 — Profil de surface**

### **3.1.5 primary profile**

See ISO 3274.

NOTE — The primary profile is the basis for evaluation of the primary profile parameters.

### **3.1.6 roughness profile**

profile derived from the primary profile by suppressing the longwave component using the profile filter  $\lambda_c$ ; this profile is intentionally modified

See figure 1.

#### NOTES

- 1 The transmission band for roughness profiles is defined by the  $\lambda_s$  and  $\lambda_c$  profile filters (see ISO 11562:1996, 2.6 and 3.2).
- 2 The roughness profile is the basis for evaluation of the roughness profile parameters.
- 3 The default relationship between  $\lambda_c$  and  $\lambda_s$  is given in ISO 3274:1996, 4.4.

### **3.1.7 waviness profile**

profile derived by subsequent application of the profile filter  $\lambda_f$  and the profile filter  $\lambda_c$  to the primary profile, suppressing the longwave component using the profile filter  $\lambda_f$ , and suppressing the shortwave component using the profile filter  $\lambda_c$ ; this profile is intentionally modified

#### NOTES

- 1 The nominal form should first be removed from the total profile by best-fit least-squares methods, before applying the  $\lambda_f$  profile filter for separating the waviness profile. For circular nominal form, it is recommended that the radius should also be included in the least-squares optimization and not held fixed to the nominal value. This procedure for separating the waviness profile defines the ideal waviness operator.
- 2 The transmission band for waviness profiles is defined by the  $\lambda_c$  and  $\lambda_f$  profile filters (see ISO 11562:1996, 2.6 and 3.2).
- 3 The waviness profile is the basis for evaluation of the waviness profile parameters.

### **3.1.5 profil primaire**

Voir l'ISO 3274.

NOTE — Le profil primaire sert de base à l'évaluation des paramètres du profil primaire.

### **3.1.6 profil de rugosité**

profil dérivé du profil primaire par suppression des composantes de grande longueur d'onde, en appliquant le filtre de profil  $\lambda_c$ ; ce profil est intentionnellement modifié

Voir la figure 1.

#### NOTES

- 1 La bande de transmission des profils de rugosité est définie par les filtres de profil  $\lambda_s$  et  $\lambda_c$  (voir l'ISO 11562:1996, paragraphes 2.6 et 3.2).
- 2 Le profil de rugosité sert de base à l'évaluation des paramètres du profil de rugosité.
- 3 La relation par défaut entre  $\lambda_c$  et  $\lambda_s$  est donnée dans l'ISO 3274:1996, paragraphe 4.4.

### **3.1.7 profil d'ondulation**

profil dérivé du profil primaire par application successive des filtres de profil  $\lambda_f$  et  $\lambda_c$ , supprimant ainsi les composantes de grande longueur d'onde à l'aide du filtre de profil  $\lambda_f$ , et les composantes de faible longueur d'onde à l'aide du filtre de profil  $\lambda_c$ ; ce profil est intentionnellement modifié

#### NOTES

- 1 Il convient dans un premier temps d'enlever la forme nominale du profil total par les méthodes des moindres carrés, avant d'appliquer le filtre de profil  $\lambda_f$  pour séparer le profil d'ondulation. En cas de forme nominale circulaire, il est recommandé d'inclure le rayon dans l'optimisation des moindres carrés plutôt que de le fixer à sa valeur nominale. Cette procédure de séparation du profil d'ondulation définit l'opérateur d'ondulation idéal.
- 2 La bande de transmission des profils d'ondulation est définie par les filtres de profil  $\lambda_c$  et  $\lambda_f$  (voir l'ISO 11562:1996, paragraphes 2.6 et 3.2).
- 3 Le profil d'ondulation sert de base à l'évaluation des paramètres du profil d'ondulation.

### 3.1.8 Mean lines

#### 3.1.8.1

##### mean line for the roughness profile

line corresponding to the longwave profile component suppressed by the profile filter  $\lambda_c$

(See ISO 11562:1996, 3.2)

#### 3.1.8.2

##### mean line for the waviness profile

line corresponding to the longwave profile component suppressed by the profile filter  $\lambda_f$

(See ISO 11562:1996, 3.2)

#### 3.1.8.3

##### mean line for the primary profile

line determined by fitting a least-squares line of nominal form through the primary profile

### 3.1.9

#### sampling length

$l_p$ ,  $l_r$ ,  $l_w$

length in the direction of the X-axis used for identifying the irregularities characterizing the profile under evaluation

NOTE — The sampling length for the roughness  $l_r$  and waviness profiles  $l_w$  is numerically equal to the characteristic wavelength of the profile filters  $\lambda_c$  and  $\lambda_f$ , respectively. The sampling length for primary profile,  $l_p$ , is equal to the evaluation length.

#### 3.1.10

#### evaluation length

$l_n$

length in the direction of the X-axis used for assessing the profile under evaluation

#### NOTES

1 The evaluation length may contain one or more sampling lengths.

2 For default evaluation lengths, see ISO 4288:1996, 4.4. ISO 4288 does not give default evaluation length for  $W$ -parameters.

### 3.1.8 Lignes moyennes

#### 3.1.8.1

##### ligne moyenne du profil de rugosité

ligne qui correspond à la composante de profil de grande longueur d'onde supprimée par le filtre de profil  $\lambda_c$

(Voir l'ISO 11562:1996, paragraphe 3.2)

#### 3.1.8.2

##### ligne moyenne du profil d'ondulation

ligne qui correspond à la composante de profil de grande longueur d'onde supprimée par le filtre de profil  $\lambda_f$

(Voir l'ISO 11562:1996, paragraphe 3.2)

#### 3.1.8.3

##### ligne moyenne du profil primaire

ligne déterminée en calculant, à partir du profil primaire, une ligne des moindres carrés de forme nominale

### 3.1.9

#### longueur de base

$l_p$ ,  $l_r$ ,  $l_w$

longueur, dans la direction de l'axe des X, utilisée pour identifier les irrégularités caractérisant le profil à évaluer

NOTE — Les longueurs de base des profils de rugosité  $l_r$  et d'ondulation,  $l_w$ , sont égales, en valeur numérique, aux longueurs d'onde caractéristiques des filtres de profil  $\lambda_c$  et  $\lambda_f$  respectivement. La longueur de base du profil primaire,  $l_p$ , est égale à la longueur d'évaluation.

#### 3.1.10

#### longueur d'évaluation

$l_n$

longueur, dans la direction de l'axe des X, utilisée pour établir le profil à évaluer

#### NOTES

1 La longueur d'évaluation peut comprendre une ou plusieurs longueurs de base.

2 Pour les longueurs d'évaluation par défaut, voir l'ISO 4288:1996, paragraphe 4.4. L'ISO 4288 ne donne pas de longueur d'évaluation par défaut des paramètres  $W$ .

## 3.2 Geometrical parameter terms

### 3.2.1

#### ***P*-parameter**

parameter calculated from the primary profile

### 3.2.2

#### ***R*-parameter**

parameter calculated from the roughness profile

### 3.2.3

#### ***W*-parameter**

parameter calculated from the waviness profile

NOTE — The parameters defined in clause 4 can be calculated from any profile. The first capital letter in the parameter symbol designates the type of the profile evaluated. For example, *R<sub>a</sub>* is calculated from the roughness profile and *P<sub>t</sub>* is calculated from the primary profile.

### 3.2.4

#### **profile peak**

an outwardly directed (from material to surrounding medium) portion of the assessed profile connecting two adjacent points of the intersection of the profile with the *X*-axis

### 3.2.5

#### **profile valley**

an inwardly directed (from surrounding medium to material) portion of the assessed profile connecting two adjacent points of the intersection of the assessed profile with the *X*-axis

### 3.2.6

#### **height and/or spacing discrimination**

minimum height and minimum spacing of profile peaks and profile valleys of the assessed profile which should be taken into account

NOTE — The minimum height of the profile peaks and valleys are usually specified as a percentage of *P<sub>z</sub>*, *R<sub>z</sub>*, *W<sub>z</sub>* or another amplitude parameter, and the minimum spacing as a percentage of the sampling length.

## 3.2 Définitions géométriques

### 3.2.1

#### **paramètre *P***

paramètre calculé sur le profil primaire

### 3.2.2

#### **paramètre *R***

paramètre calculé sur le profil de rugosité

### 3.2.3

#### **paramètre *W***

paramètre calculé sur le profil d'ondulation

NOTE — Les paramètres définis à l'article 4 peuvent être calculés sur l'un ou l'autre des profils. La première lettre majuscule du symbole du paramètre dénote le type de profil évalué. Ainsi, *R<sub>a</sub>* est calculé sur le profil de rugosité et *P<sub>t</sub>* sur le profil primaire.

### 3.2.4

#### **saillie du profil**

partie du profil évalué, dirigée vers l'extérieur (de la matière vers le milieu environnant) et reliant deux intersections consécutives du profil avec l'axe des *X*

### 3.2.5

#### **creux du profil**

partie du profil évalué, dirigée vers l'intérieur (du milieu environnant vers la matière) et reliant deux intersections consécutives du profil avec l'axe des *X*

### 3.2.6

#### **discrimination de hauteur et/ou d'espace-ment**

hauteur minimale et espacement minimal des saillies et des creux du profil évalué qu'il convient de prendre en considération

NOTE — La hauteur minimale des saillies et des creux du profil est habituellement spécifiée sous forme de pourcentage de *P<sub>z</sub>*, *R<sub>z</sub>*, *W<sub>z</sub>* ou d'un autre paramètre d'amplitude et l'espacement minimal en pourcentage de la longueur de base.

**3.2.7**  
**profile element**

profile peak and the adjacent profile valley

See figure 3.

NOTE — The positive or negative portion of the assessed profile at the beginning or end of the sampling length should always be considered as a profile peak or as a profile valley. When determining a number of profile elements over several successive sampling lengths, the peaks and valleys of the assessed profile at the beginning or end of each sampling length are taken into account once only at the beginning of each sampling length.

**3.2.8**  
**ordinate value**

$Z(x)$

height of the assessed profile at any position  $x$

NOTE — The height is regarded as negative if the ordinate lies below the X-axis, and positive otherwise.

**3.2.7**  
**élément du profil**

saillie du profil et creux du profil adjacent

Voir la figure 3.

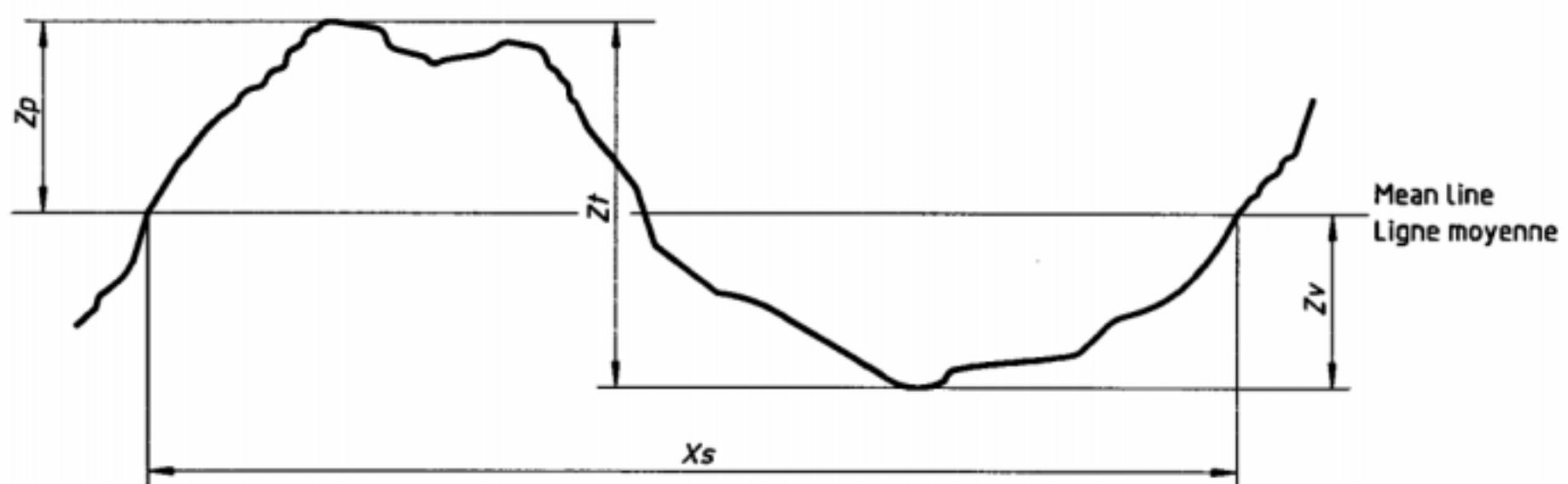
NOTE — Il convient de toujours compter les portions positives ou négatives du profil évalué en début ou en fin de longueur de base comme des saillies ou des creux du profil. Lorsqu'on détermine les éléments du profil sur plusieurs longueurs de base consécutives, les saillies et creux du profil évalué situés en début et en fin de chaque longueur de base sont comptés une seule fois, au début de chaque longueur de base.

**3.2.8**  
**ordonnée**

$Z(x)$

hauteur du profil évalué en une position quelconque  $x$

NOTE — La hauteur a une valeur négative si l'ordonnée est située au-dessous de l'axe des X, et une valeur positive dans le cas contraire.



**Figure 3 — Profile element**  
**Figure 3 — Élément du profil**

**3.2.9  
local slope**

$$\frac{dZ}{dX}$$

slope of the assessed profile at a position  $x_i$

See figure 4.

NOTES

1 The numerical value of the local slope, and thus the parameters  $P\Delta q$ ,  $R\Delta q$  and  $W\Delta q$ , depends critically on the ordinate spacing  $\Delta X$ .

2 A formula for estimating the local slope is

$$\frac{dz_i}{dx} = \frac{1}{60\Delta X} (z_{i+3} - 9z_{i+2} + 45z_{i+1} - 45z_{i-1} + 9z_{i-2} - z_{i-3})$$

The above formula should be used for the sample spacing stipulated in ISO 3274 for the filter used, where  $z_i$  is the height of the  $i$ th profile point and  $\Delta X$  is the spacing between adjacent profile points.

**3.2.10  
profile peak height**

$Z_p$

distance between the X-axis and the highest point of the profile peak

See figure 3.

**3.2.9  
pente locale**

$$\frac{dZ}{dX}$$

pente du profil évalué à un point  $x_i$

Voir la figure 4.

NOTES

1 La valeur numérique de la pente locale, et donc les paramètres  $P\Delta q$ ,  $R\Delta q$  et  $W\Delta q$ , dépendent étroitement du pas  $\Delta X$ .

2 La pente locale peut être estimée par la formule

$$\frac{dz_i}{dx} = \frac{1}{60\Delta X} (z_{i+3} - 9z_{i+2} + 45z_{i+1} - 45z_{i-1} + 9z_{i-2} - z_{i-3})$$

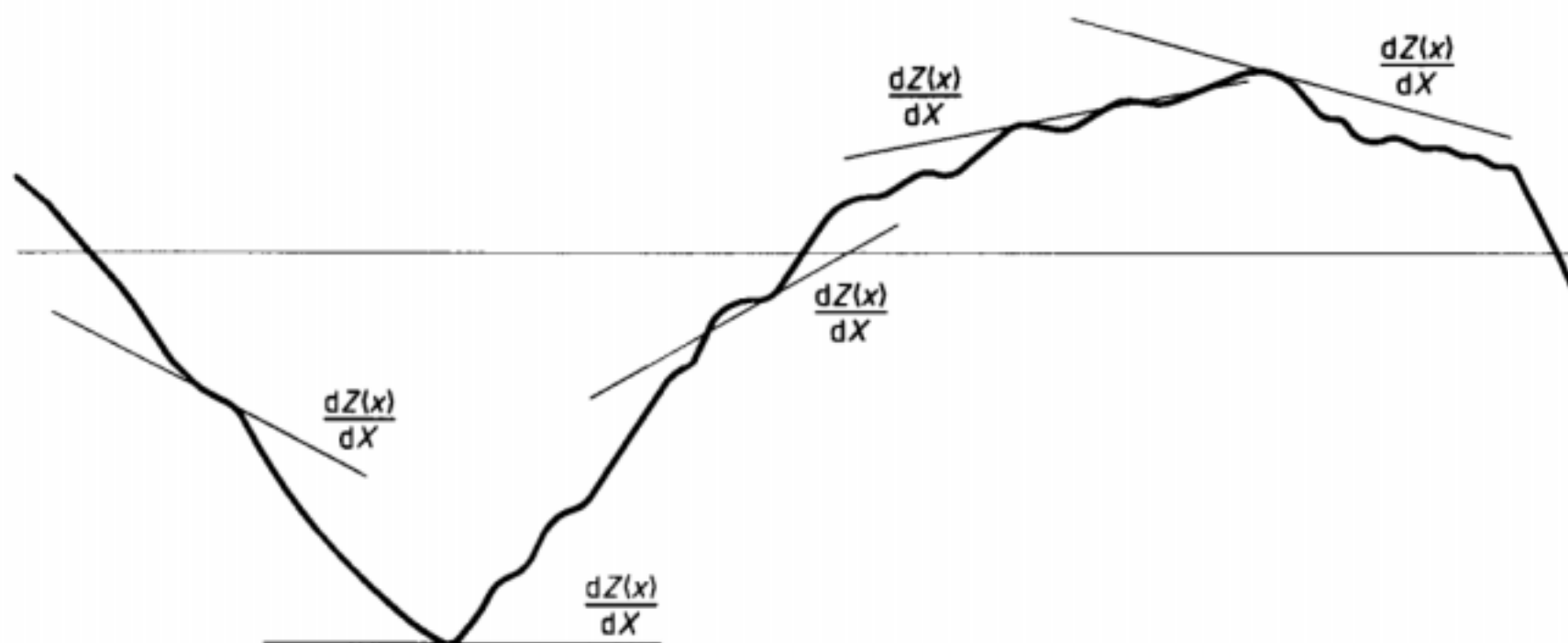
où  $z_i$  est la hauteur du  $i^{\text{ème}}$  point du profil et  $\Delta X$  le pas entre deux points adjacents du profil. Il convient d'utiliser la formule ci-dessus pour le pas d'échantillonnage spécifié dans l'ISO 3274 en fonction du filtre utilisé.

**3.2.10  
hauteur d'une saillie du profil**

$Z_p$

distance entre l'axe des X et le point le plus haut de la saillie du profil

Voir la figure 3.



**Figure 4 — Local slope  
Figure 4 — Pente locale**

**3.2.11**  
**profile valley depth**

$Z_v$   
distance between the X-axis and the lowest point of the profile valley

See figure 3.

**3.2.11**  
**profondeur d'un creux du profil**

$Z_v$   
distance entre l'axe des X et le point le plus bas du creux du profil

Voir la figure 3.

**3.2.12**  
**profile element height**

$Z_t$   
sum of the height of the peak and depth of the valley of a profile element

See figure 3.

**3.2.12**  
**hauteur d'un élément du profil**

$Z_t$   
somme de la hauteur de la saillie et de la profondeur du creux de l'élément du profil

Voir la figure 3.

**3.2.13**  
**profile element width**

$X_s$   
length of the X-axis segment intersecting with the profile element

See figure 3.

**3.2.13**  
**largeur d'un élément du profil**

$X_s$   
longueur du segment de l'axe des X qui est coupée par l'élément du profil

Voir la figure 3.

**3.2.14**  
**material length of profile at the level  $c$**

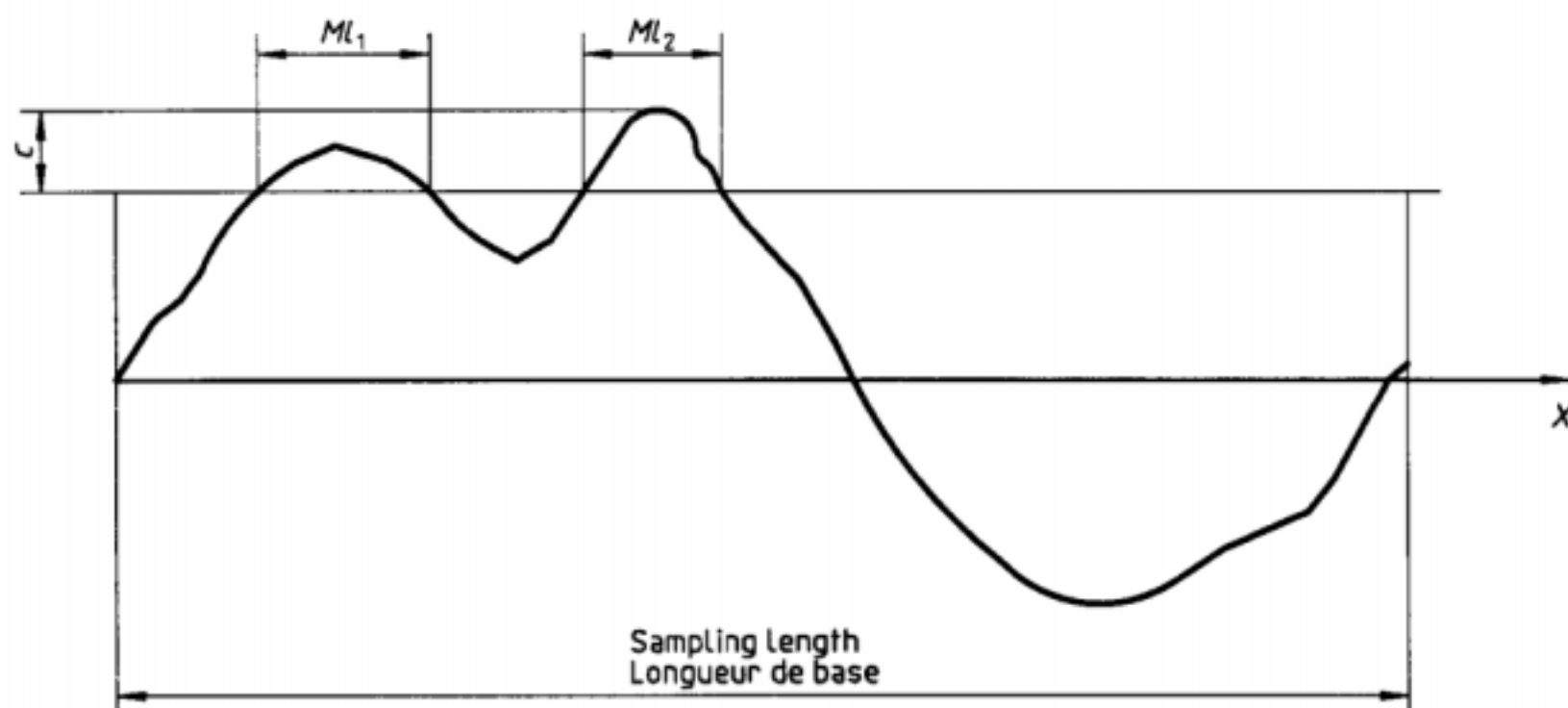
$Ml(c)$   
sum of the section lengths obtained, intersecting with the profile element by a line parallel to the X-axis at a given level,  $c$

See figure 5.

**3.2.14**  
**longueur portante du profil à un niveau  $c$**

$Ml(c)$   
somme des longueurs des segments obtenus en coupant l'élément du profil par une droite parallèle à l'axe des X à un niveau donné,  $c$

Voir la figure 5.



$$Ml(c) = ML_1 + ML_2$$

**Figure 5 — Material length**  
**Figure 5 — Longueur portante**

#### 4 Surface profile parameter definitions

##### 4.1 Amplitude parameters (peak and valley)

###### 4.1.1 maximum profile peak height

$P_p$ ,  $R_p$ ,  $W_p$

largest profile peak height  $Z_p$  within a sampling length

See figure 6.

#### 4 Définitions des paramètres de profil

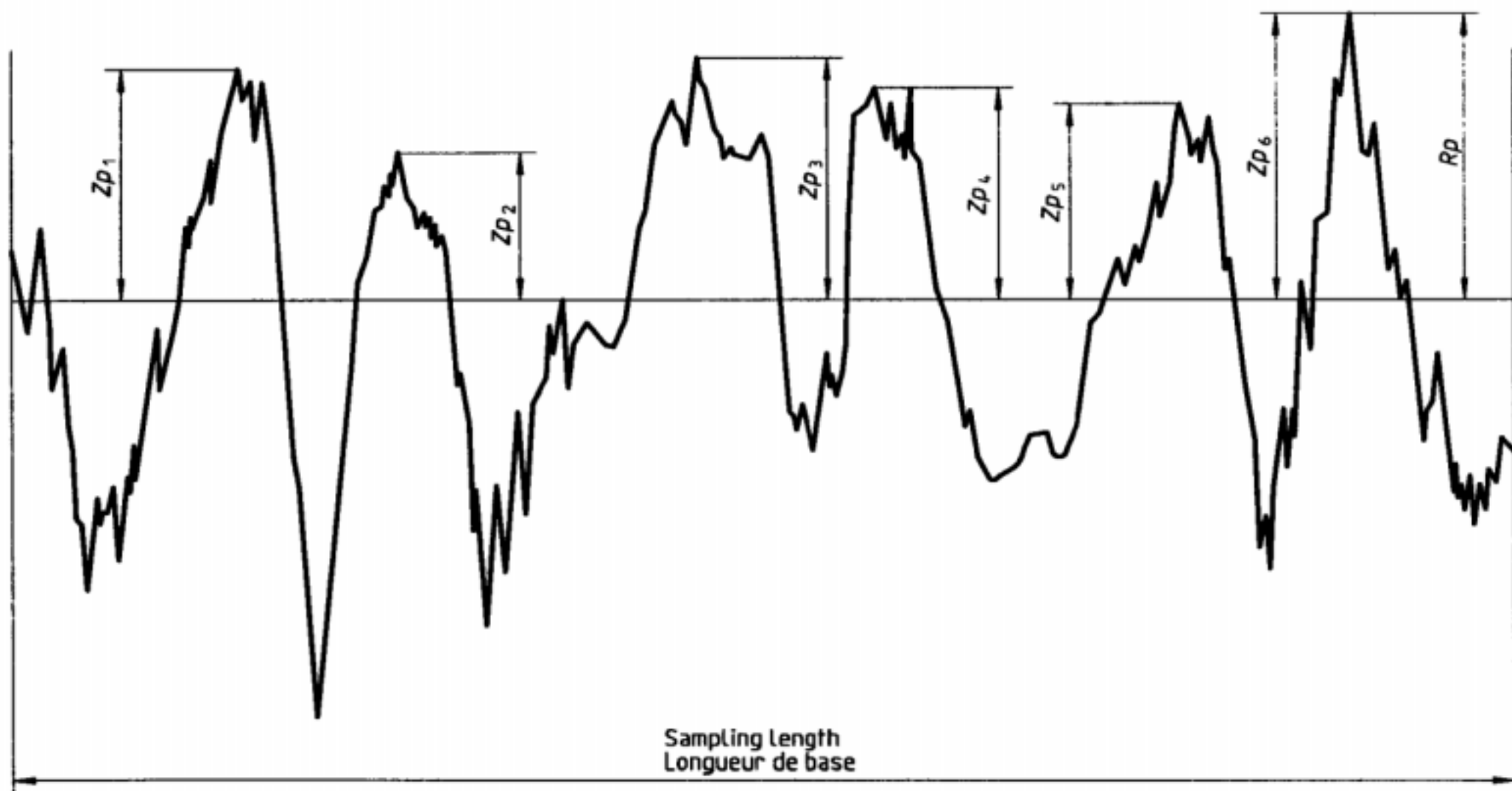
##### 4.1 Paramètres d'amplitude (saillie et creux)

###### 4.1.1 hauteur maximale de saillie du profil

$P_p$ ,  $R_p$ ,  $W_p$

plus grande des hauteurs de saillie du profil,  $Z_p$ , à l'intérieur d'une longueur de base

Voir la figure 6.



**Figure 6 — Maximum profile peak height (example of a roughness profile)**  
**Figure 6 — Hauteur maximale de saillie du profil (exemple d'un profil de rugosité)**

**4.1.2**  
**maximum profile valley depth**

$P_v$ ,  $R_v$ ,  $W_v$

largest profile valley depth  $Z_v$  within a sampling length

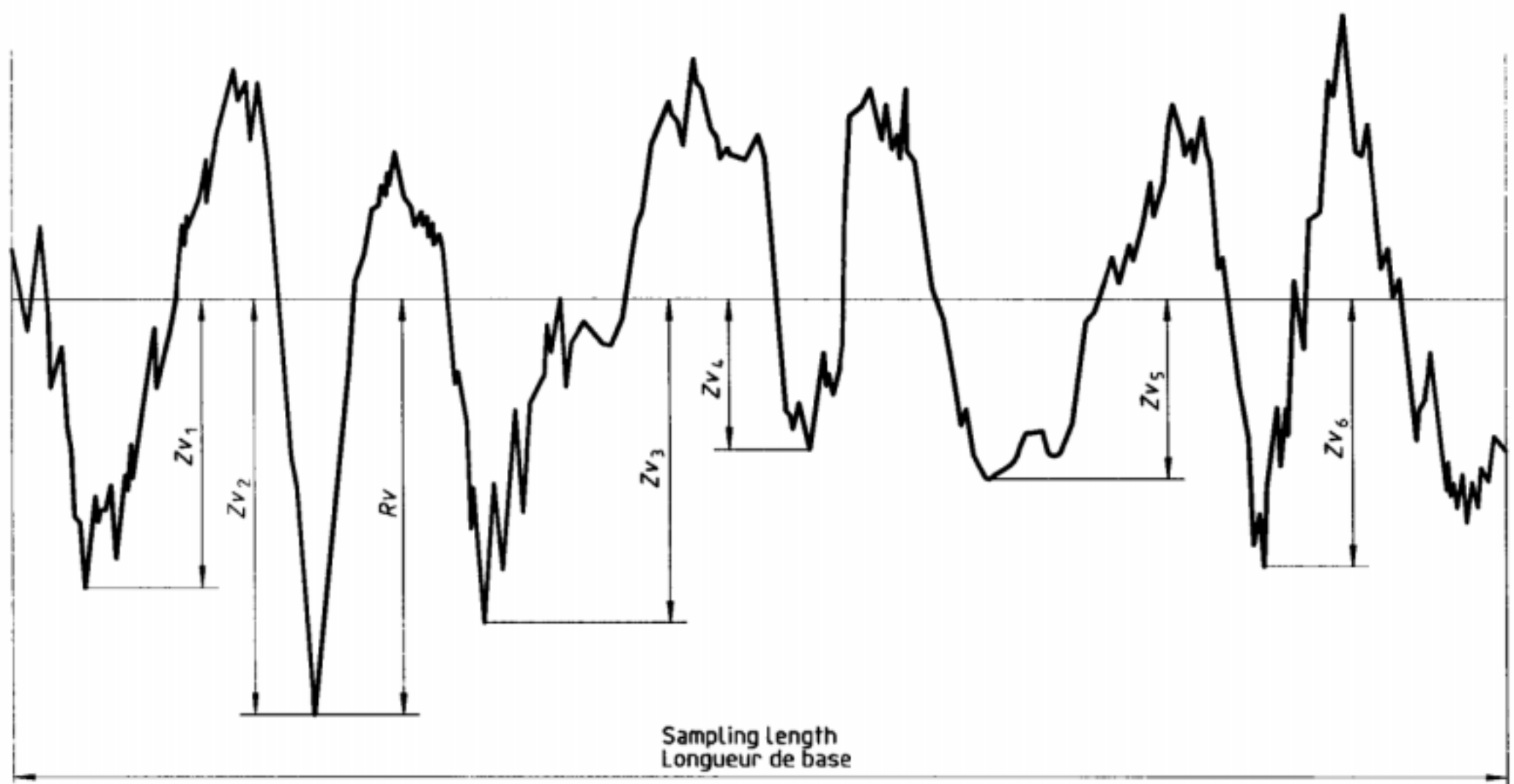
See figure 7.

**4.1.2**  
**profondeur maximale de creux du profil**

$P_v$ ,  $R_v$ ,  $W_v$

plus grande des profondeurs de creux du profil,  $Z_v$ , à l'intérieur d'une longueur de base

Voir la figure 7.



**Figure 7 — Maximum profile valley depth** (example of a roughness profile)  
**Figure 7 — Profondeur maximale de creux du profil** (exemple d'un profil de rugosité)

**4.1.3  
maximum height of profile**

*Pz, Rz, Wz*

sum of height of the largest profile peak height  $Z_p$  and the largest profile valley depth  $Z_v$  within a sampling length

See figure 8.

NOTE — In ISO 4287-1:1984, the  $Rz$  symbol was used to indicate the "ten point height of irregularities". In some countries there are surface roughness measuring instruments in use which measure the former  $Rz$  parameter. Therefore, care must be taken when using existing technical documents and drawings because differences between results obtained with different types of instruments are not always negligibly small.

**4.1.4  
mean height of profile elements**

*Pc, Rc, Wc*

mean value of the profile element heights  $Z_t$  within a sampling length

$$Pc, Rc, Wc = \frac{1}{m} \sum_{i=1}^m Z_{t_i}$$

See figure 9.

NOTE — The parameters  $Pc, Rc, Wc$  require height and spacing discrimination. If not otherwise specified, the default height discrimination shall be 10 % of  $Pz, Rz, Wz$ , respectively, and the default spacing discrimination shall be 1 % of the sampling length. Both conditions shall be met.

**4.1.3  
hauteur maximale du profil**

*Pz, Rz, Wz*

somme de la plus grande des hauteurs de saillie du profil,  $Z_p$ , et de la plus grande des profondeurs de creux du profil,  $Z_v$ , à l'intérieur d'une longueur de base

Voir la figure 8.

NOTE — Dans l'ISO 4187-1:1984, le symbole  $Rz$  était utilisé pour identifier la «hauteur des irrégularités sur dix points». Dans certains pays, certains instruments de mesure de la rugosité qui sont utilisés donnent cet ancien paramètre  $Rz$ . Il faut donc faire attention lorsqu'on utilise des dessins et documents techniques existants, les différences entre résultats de mesure obtenus avec différents types d'instruments n'étant pas toujours négligeables.

**4.1.4  
hauteur moyenne des éléments du profil**

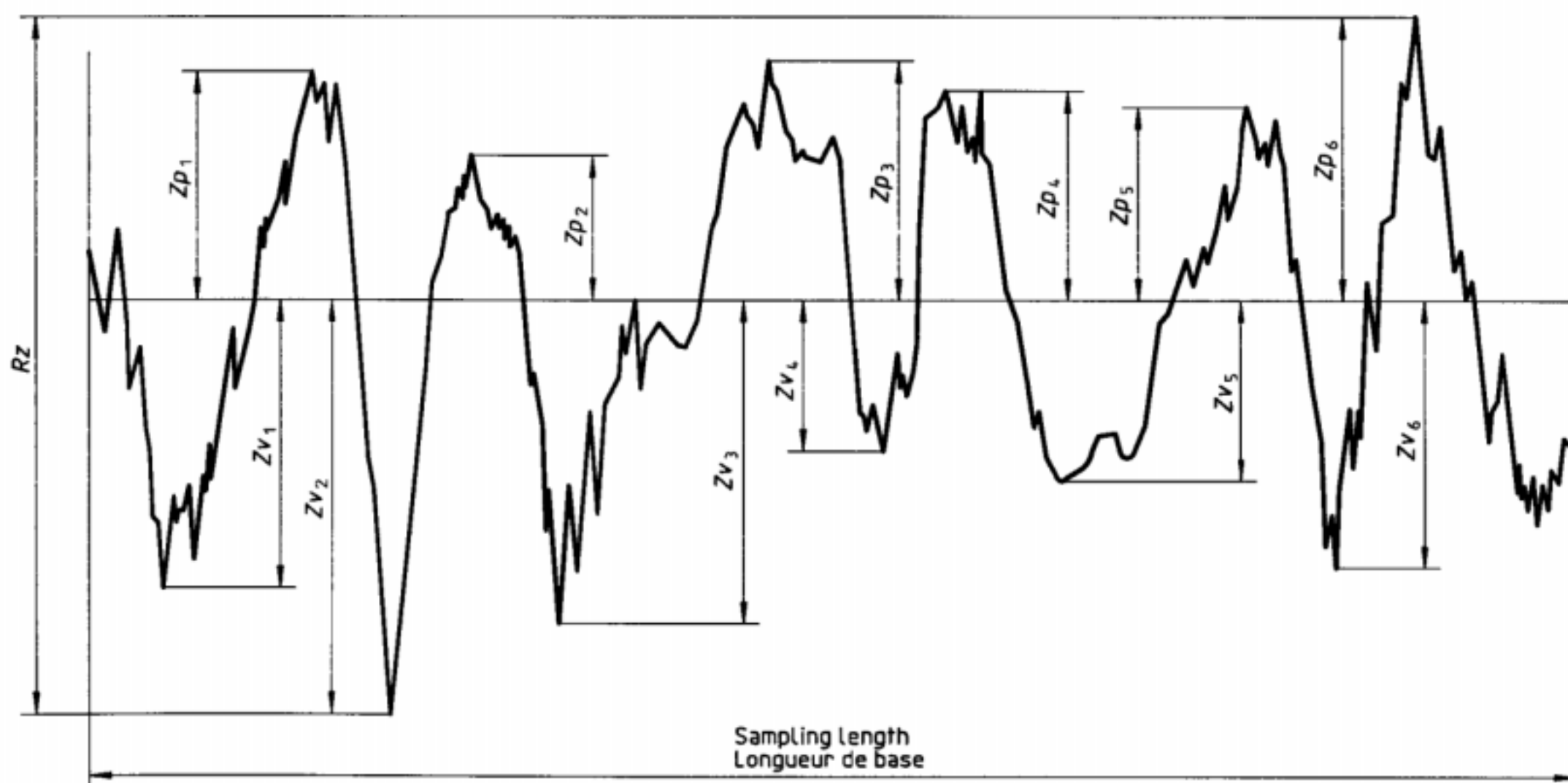
*Pc, Rc, Wc*

valeur moyenne des hauteurs des éléments du profil,  $Z_t$ , à l'intérieur d'une longueur de base

$$Pc, Rc, Wc = \frac{1}{m} \sum_{i=1}^m Z_{t_i}$$

Voir la figure 9.

NOTE — Les paramètres  $Pc, Rc, Wc$  nécessitent une discrimination de hauteur et d'espacement. Sauf spécification contraire, la discrimination de hauteur par défaut doit être de 10 % de  $Pz, Rz, Wz$  respectivement, et la discrimination d'espacement par défaut doit être de 1 % de la longueur de base. Les deux conditions doivent être respectées.



**Figure 8 — Maximum height of profile** (example of a roughness profile)  
**Figure 8 — Hauteur maximale du profil** (exemple de profil de rugosité)

**4.1.5 total height of profile**

*P<sub>t</sub>, R<sub>t</sub>, W<sub>t</sub>*

sum of the height of the largest profile peak height *Z<sub>p</sub>* and the largest profile valley depth *Z<sub>v</sub>* within the evaluation length

NOTES

1 Since *P<sub>t</sub>*, *R<sub>t</sub>* and *W<sub>t</sub>* are defined over the evaluation length rather than the sampling length, the following will always be true for any profile:

$$P_t \geq P_z; R_t \geq R_z; W_t \geq W_z$$

2 In the default case *P<sub>z</sub>* is equal to *P<sub>t</sub>*. In this case the use of *P<sub>t</sub>* is recommended.

**4.1.5 hauteur totale du profil**

*P<sub>t</sub>, R<sub>t</sub>, W<sub>t</sub>*

somme de la plus grande des hauteurs de saillie du profil, *Z<sub>p</sub>*, et de la plus grande des profondeurs de creux du profil, *Z<sub>v</sub>*, à l'intérieur de la longueur d'évaluation

NOTES

1 *P<sub>t</sub>*, *R<sub>t</sub>* et *W<sub>t</sub>* étant définis sur la longueur d'évaluation et non sur une longueur de base, la relation suivante sera toujours respectée pour tout profil:

$$P_t \geq P_z; R_t \geq R_z; W_t \geq W_z$$

2 Par défaut, *P<sub>z</sub>* est égal à *P<sub>t</sub>*. Dans ce cas, l'utilisation de *P<sub>t</sub>* est recommandée.

**4.2 Amplitude parameters (average of ordinates)**

**4.2.1 arithmetical mean deviation of the assessed profile**

*P<sub>a</sub>, R<sub>a</sub>, W<sub>a</sub>*

arithmetic mean of the absolute ordinate values *Z(x)* within a sampling length

$$P_a, R_a, W_a = \frac{1}{l} \int_0^l |Z(x)| dx$$

with *l* = *l<sub>p</sub>*, *l<sub>r</sub>* or *l<sub>w</sub>* according to the case.

**4.2 Paramètres d'amplitude (moyenne des ordonnées)**

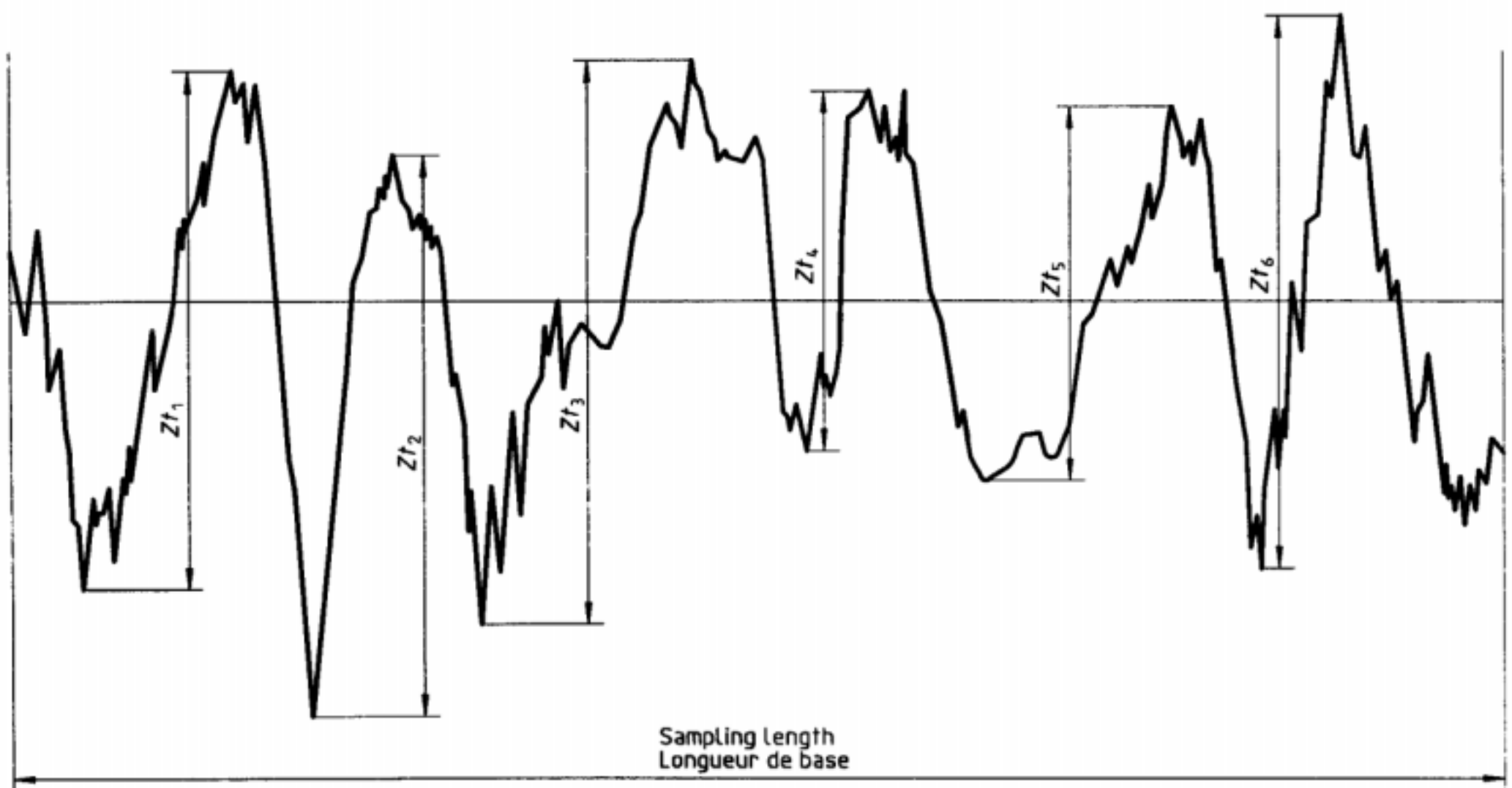
**4.2.1 écart moyen arithmétique du profil évalué**

*P<sub>a</sub>, R<sub>a</sub>, W<sub>a</sub>*

moyenne arithmétique des valeurs absolues des ordonnées *Z(x)* à l'intérieur d'une longueur de base

$$P_a, R_a, W_a = \frac{1}{l} \int_0^l |Z(x)| dx$$

avec *l* = *l<sub>p</sub>*, *l<sub>r</sub>* ou *l<sub>w</sub>* suivant le cas.



**Figure 9 — Height of profile elements (example of a roughness profile)**  
**Figure 9 — Hauteur moyenne des éléments du profil (exemple de profil de rugosité)**

#### 4.2.2 root mean square deviation of the assessed profile

*Pq, Rq, Wq*  
root mean square value of the ordinate values  $Z(x)$  within a sampling length

$$Pq, Rq, Wq = \sqrt{\frac{1}{l} \int_0^l Z^2(x) dx}$$

with  $l = lp, lr$  or  $lw$  according to the case.

#### 4.2.3 skewness of the assessed profile

*Psk, Rsk, Wsk*  
quotient of the mean cube value of the ordinate values  $Z(x)$  and the cube of  $Pq, Rq$  or  $Wq$  respectively, within a sampling length

$$Rsk = \frac{1}{Rq^3} \left[ \frac{1}{lr} \int_0^{lr} Z^3(x) dx \right]$$

#### NOTES

- 1 The above equation defines *Rsk*; *Psk* and *Wsk* are defined in a similar manner.
- 2 *Psk, Rsk* and *Wsk* are measures of the asymmetry of the probability density function of the ordinate values.
- 3 These parameters are strongly influenced by isolated peaks or isolated valleys.

#### 4.2.4 kurtosis of the assessed profile

*Pku, Rku, Wku*  
quotient of the mean quartic value of the ordinate values  $Z(x)$  and the fourth power of  $Pq, Rq$  or  $Wq$  respectively within a sampling length

$$Rku = \frac{1}{Rq^4} \left[ \frac{1}{lr} \int_0^{lr} Z^4(x) dx \right]$$

#### NOTES

- 1 The above equation defines *Rku*; *Pku* and *Wku* are defined in a similar manner.
- 2 *Pku, Rku* and *Wku* are measures of the sharpness of the probability density function of the ordinate values.
- 3 These parameters are strongly influenced by isolated peaks or isolated valleys.

#### 4.2.2 écart moyen quadratique du profil évalué

*Pq, Rq, Wq*  
moyenne quadratique des valeurs des ordonnées  $Z(x)$  à l'intérieur d'une longueur de base

$$Pq, Rq, Wq = \sqrt{\frac{1}{l} \int_0^l Z^2(x) dx}$$

avec  $l = lp, lr$  ou  $lw$  suivant le cas.

#### 4.2.3 facteur d'asymétrie du profil évalué

skewness  
*Psk, Rsk, Wsk*  
quotient de la moyenne des cubes des valeurs des ordonnées  $Z(x)$  par le cube du paramètre  $Pq, Rq$  ou  $Wq$  selon le cas, à l'intérieur de la longueur de base

$$Rsk = \frac{1}{Rq^3} \left[ \frac{1}{lr} \int_0^{lr} Z^3(x) dx \right]$$

#### NOTES

- 1 L'équation ci-dessus définit *Rsk*. *Psk* et *Wsk* sont définis de façon similaire.
- 2 *Psk, Rsk* et *Wsk* représentent une mesure de l'asymétrie de la courbe de distribution d'amplitude.
- 3 Ces paramètres sont fortement influencés par des saillies isolées ou des creux isolés.

#### 4.2.4 facteur d'aplatissement du profil évalué

kurtosis  
*Pku, Rku, Wku*  
quotient de la moyenne des valeurs à la puissance 4 des ordonnées  $Z(x)$  par la valeur à la puissance 4 du paramètre  $Pq, Rq$  ou  $Wq$  selon le cas, à l'intérieur d'une longueur de base

$$Rku = \frac{1}{Rq^4} \left[ \frac{1}{lr} \int_0^{lr} Z^4(x) dx \right]$$

#### NOTES

- 1 L'équation ci-dessus définit *Rku*; *Pku* et *Wku* sont définis de façon similaire.
- 2 *Pku, Rku* et *Wku* représentent une mesure de l'aplatissement de la courbe de distribution d'amplitude.
- 3 Ces paramètres sont fortement influencés par des saillies isolées ou des creux isolés.

### 4.3 Spacing parameters

#### 4.3.1

#### mean width of the profile elements

$PSm, RSm, WSm$

mean value of the profile element widths  $Xs$  within a sampling length

$$PSm, RSm, WSm = \frac{1}{m} \sum_{i=1}^m Xs_i$$

See figure 10.

NOTE — The parameters  $PSm, RSm, WSm$  require height and spacing discrimination. If not otherwise specified, the default height discrimination shall be 10 % of  $Pz, Rz, Wz$  respectively, and the default spacing discrimination shall be 1 % of the sampling length. Both conditions shall be met.

### 4.4 Hybrid parameters

#### 4.4.1

#### root mean square slope of the assessed profile

$P\Delta q, R\Delta q, W\Delta q$

root mean square value of the ordinate slopes  $dZ/dX$ , within the sampling length

### 4.3 Paramètres d'espacement

#### 4.3.1

#### largeur moyenne des éléments du profil

$PSm, RSm, WSm$

valeur moyenne des largeurs des éléments du profil,  $Xs$ , à l'intérieur d'une longueur de base

$$PSm, RSm, WSm = \frac{1}{m} \sum_{i=1}^m Xs_i$$

Voir la figure 10.

NOTE — Les paramètres  $PSm, RSm, WSm$  nécessitent une discrimination de hauteur et d'espacement. Sauf spécification contraire, la discrimination de hauteur par défaut doit être de 10 % de  $Pz, Rz, Wz$  respectivement, et la discrimination d'espacement par défaut doit être de 1 % de la longueur de base. Les deux conditions doivent être respectées.

### 4.4 Paramètres hybrides

#### 4.4.1

#### pente quadratique moyenne du profil évalué

$P\Delta q, R\Delta q, W\Delta q$

valeur quadratique moyenne des pentes locales  $dZ/dX$ , à l'intérieur de la longueur de base

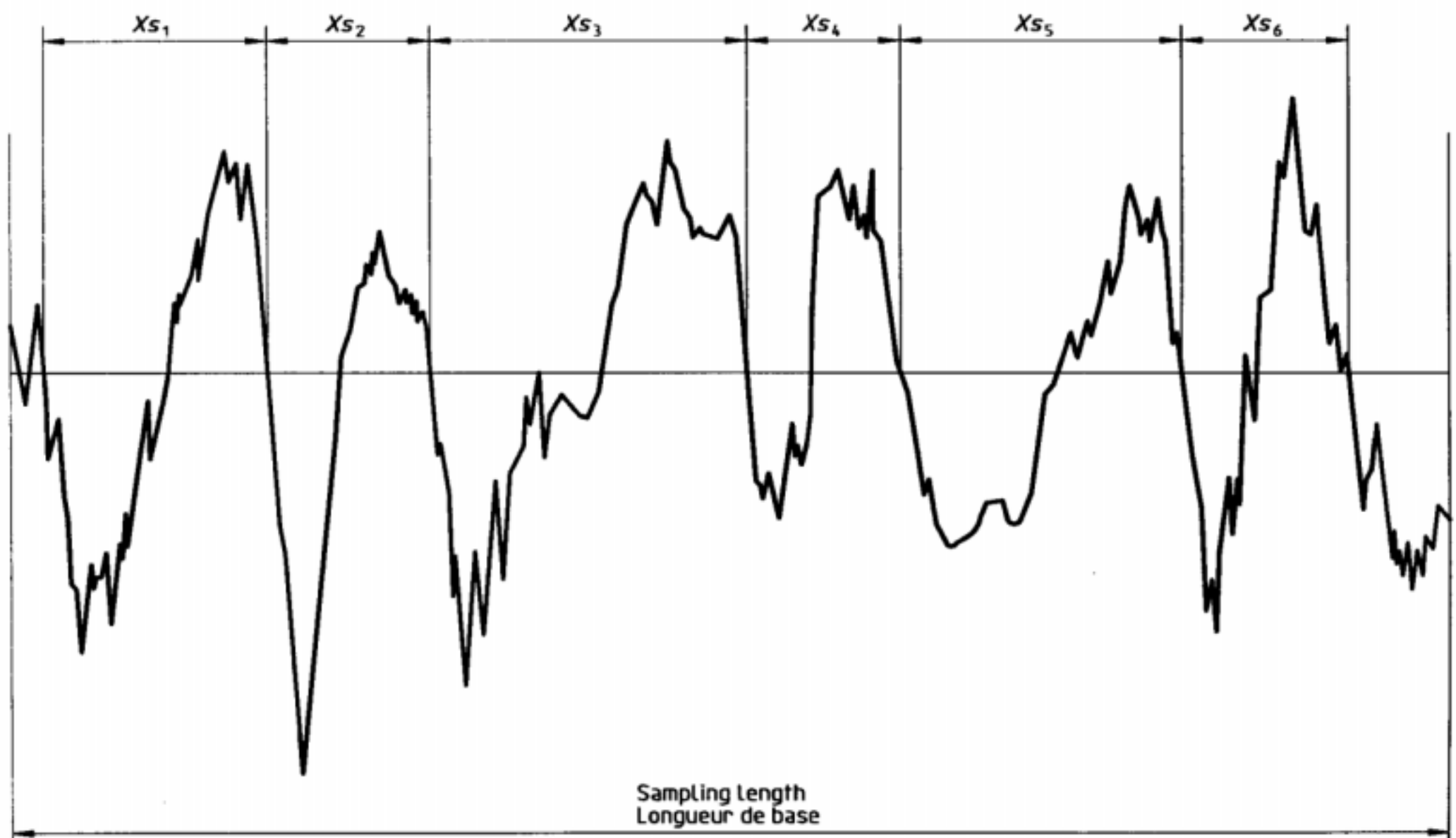


Figure 10 — Width of profile elements  
Figure 10 — Largeur des éléments du profil

## 4.5 Curves and related parameters

NOTE — All curves and related parameters are defined over the evaluation length rather than the sampling length, as this provides more stable curves and related parameters.

### 4.5.1 material ratio of the profile

$Pmr(c), Rmr(c), Wmr(c)$   
ratio of the material length of the profile elements  $MI(c)$  at a given level  $c$  to the evaluation length

$$Pmr(c), Rmr(c), Wmr(c) = \frac{MI(c)}{ln}$$

### 4.5.2 material ratio curve of the profile (Abbott Firestone curve)

curve representing the material ratio of the profile as a function of level

See figure 11.

NOTE — This curve can be interpreted as the sample cumulative probability function of the ordinate values  $Z(x)$ , within an evaluation length.

## 4.5 Courbes et paramètres associés

NOTE — Toutes les courbes et les paramètres qui y sont associés sont définis sur la longueur d'évaluation plutôt que sur la longueur de base, afin d'obtenir des courbes et des paramètres associés ayant une plus grande stabilité.

### 4.5.1 taux de longueur portante

$Pmr(c), Rmr(c), Wmr(c)$   
rapport de la longueur portante du profil à un niveau donné  $c$ ,  $MI(c)$ , à la longueur d'évaluation

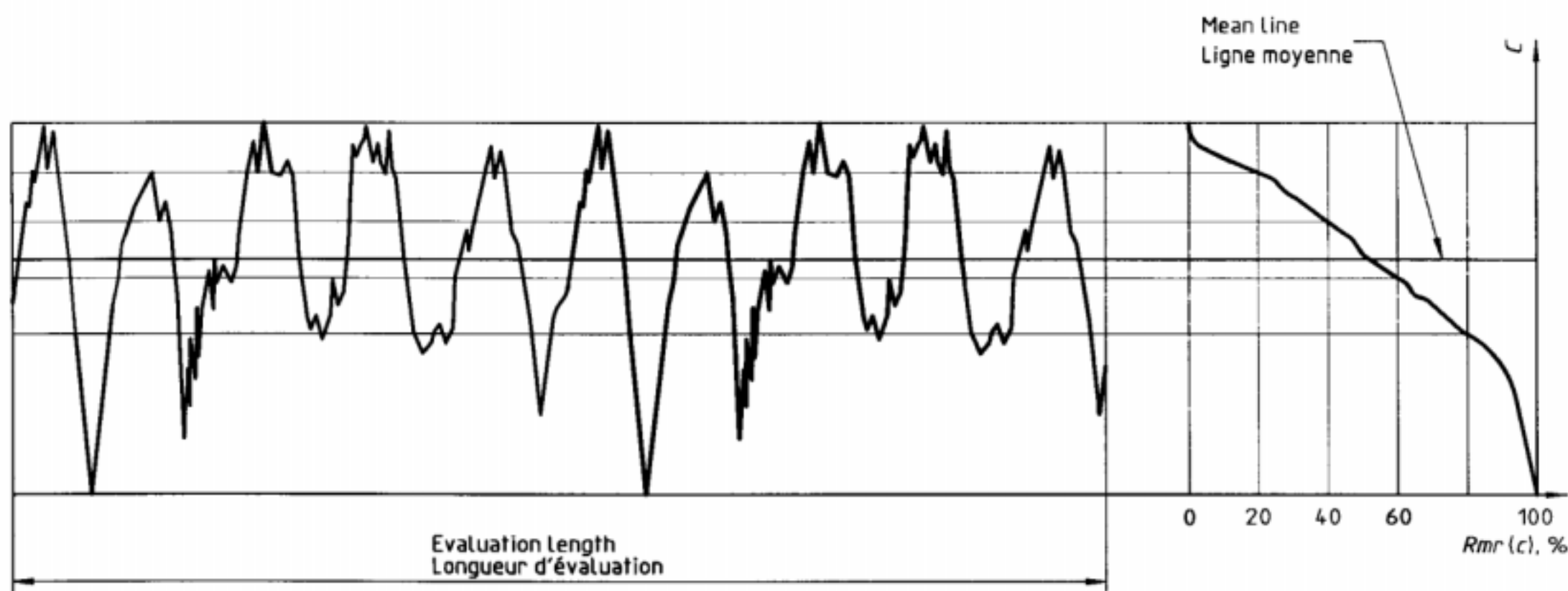
$$Pmr(c), Rmr(c), Wmr(c) = \frac{MI(c)}{ln}$$

### 4.5.2 courbe du taux de longueur portante du profil (Courbe d'Abbott Firestone)

courbe représentant le taux de longueur portante du profil en fonction du niveau

Voir la figure 11.

NOTE — Cette courbe peut être interprétée comme la fonction de distribution cumulée des ordonnées  $Z(x)$  à l'intérieur de la longueur d'évaluation.



**Figure 11 — Material ratio curve**  
**Figure 11 — Courbe du taux de longueur portante**

**4.5.3  
profile section height difference**

$P\delta_c, R\delta_c, W\delta_c$   
vertical distance between two section levels of given material ratio

$$R\delta_c = C(Rmr1) - C(Rmr2); (Rmr1 < Rmr2)$$

NOTE — The above equation defines  $R\delta_c$ ;  $P\delta_c$  and  $W\delta_c$  are defined in a similar manner.

**4.5.4  
relative material ratio**

$Pmr, Rmr, Wmr$   
material ratio determined at a profile section level  $R\delta_c$ , related to a reference  $C0$

$$Pmr, Rmr, Wmr = Pmr, Rmr, Wmr (C1)$$

where

$$C1 = C0 - R\delta_c \text{ (or } P\delta_c \text{ or } W\delta_c)$$

$$C0 = C(Pmr0, Rmr0, Wmr0)$$

See figure 12.

**4.5.3  
différence de hauteur de coupe du profil**

$P\delta_c, R\delta_c, W\delta_c$   
distance verticale entre deux niveaux de coupe d'une courbe du taux de longueur portante

$$R\delta_c = C(Rmr1) - C(Rmr2); (Rmr1 < Rmr2)$$

NOTE — L'équation ci-dessus définit  $R\delta_c$ .  $P\delta_c$  et  $W\delta_c$  sont définis de façon similaire.

**4.5.4  
taux de longueur portante relatif**

$Pmr, Rmr, Wmr$   
taux de longueur portante déterminé pour un niveau de coupe, à une hauteur  $R\delta_c$  par rapport à une référence  $C0$

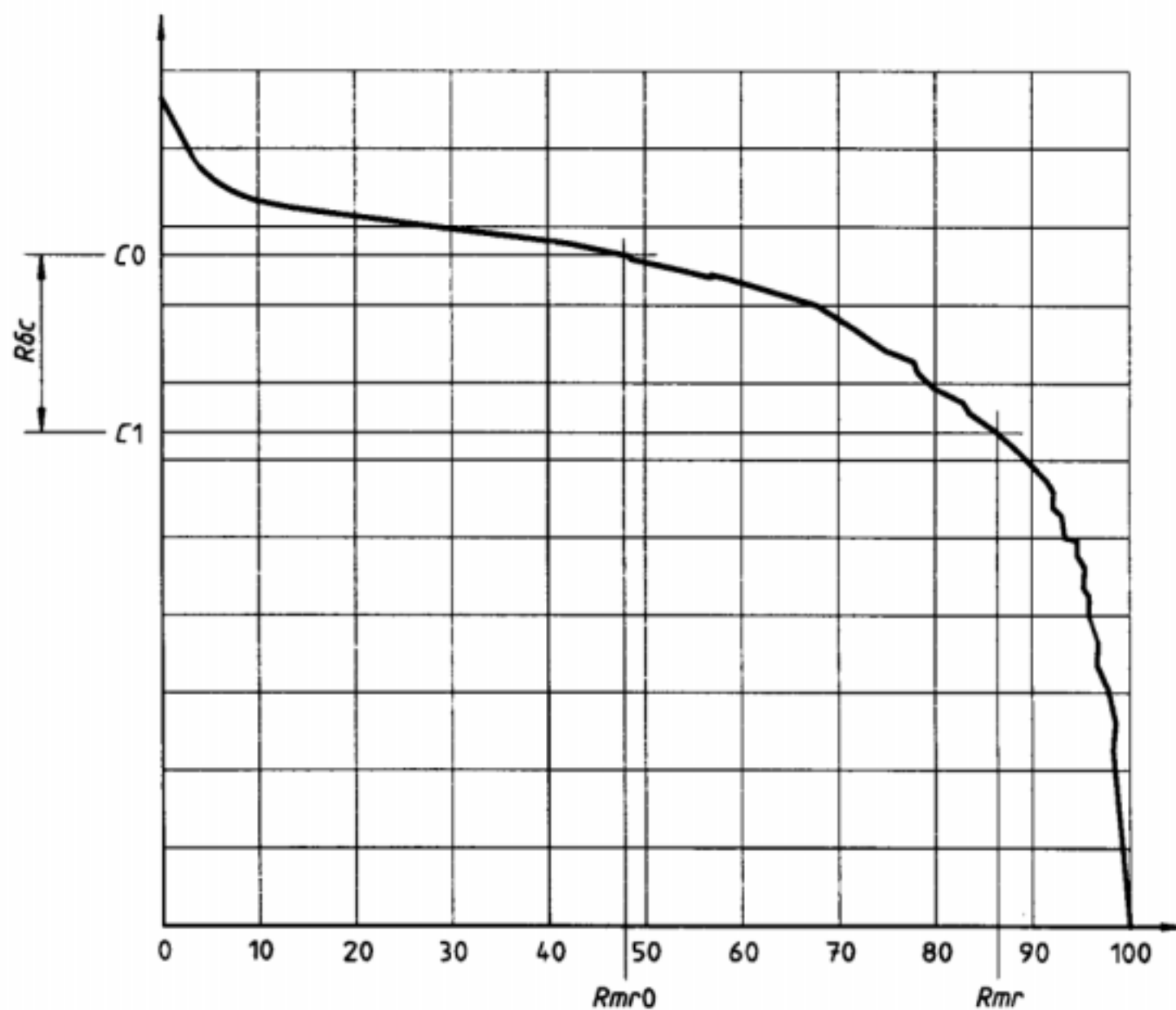
$$Pmr, Rmr, Wmr = Pmr, Rmr, Wmr (C1)$$

où

$$C1 = C0 - R\delta_c \text{ (ou } P\delta_c \text{ ou } W\delta_c)$$

$$C0 = C(Pmr0, Rmr0, Wmr0)$$

Voir la figure 12.



**Figure 12 — Profile section level separation  
Figure 12 — Taux de longueur portante relatif**

**4.5.5**  
**profile height amplitude curve**

sample probability density function of the ordinate  $Z(x)$   
within the evaluation length

See figure 13.

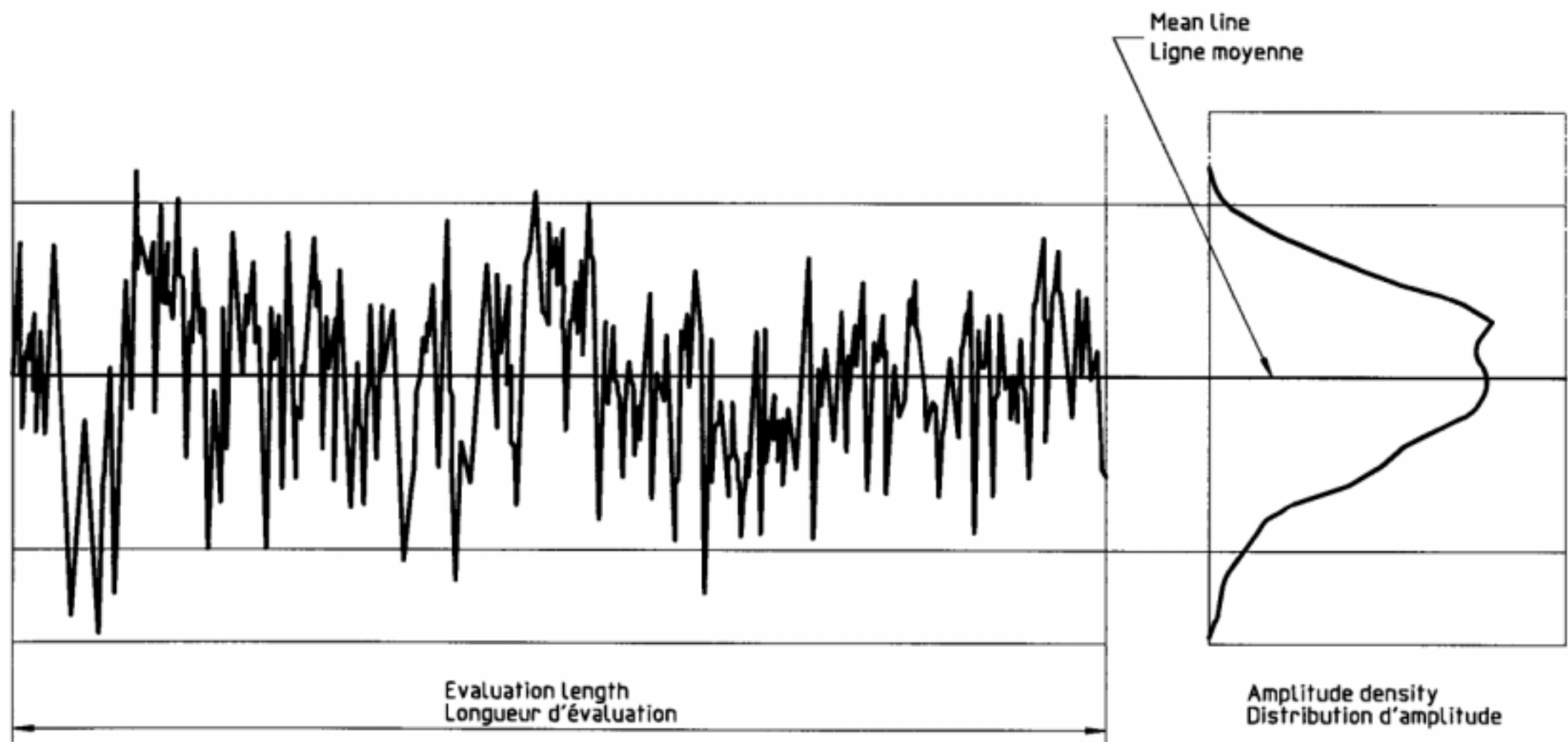
NOTE — For profile height amplitude curve parameters,  
see 4.2.

**4.5.5**  
**courbe de distribution d'amplitude**

fonction représentant la distribution des ordonnées  
 $Z(x)$  à l'intérieur de la longueur d'évaluation

Voir la figure 13.

NOTE — Voir en 4.2 les paramètres associés à la courbe  
de distribution d'amplitude.



**Figure 13 — Profile height amplitude distribution curve**  
**Figure 13 — Courbe de distribution d'amplitude**

**Annex A**  
(normative)

**Text equivalents**

**Annexe A**  
(normative)

**Équivalents textuels**

In order to facilitate alphanumeric notation by means of computers, the following text equivalents are recommended:

Afin de faciliter les notations alphanumériques sur des ordinateurs, les équivalents textuels suivants sont recommandés.

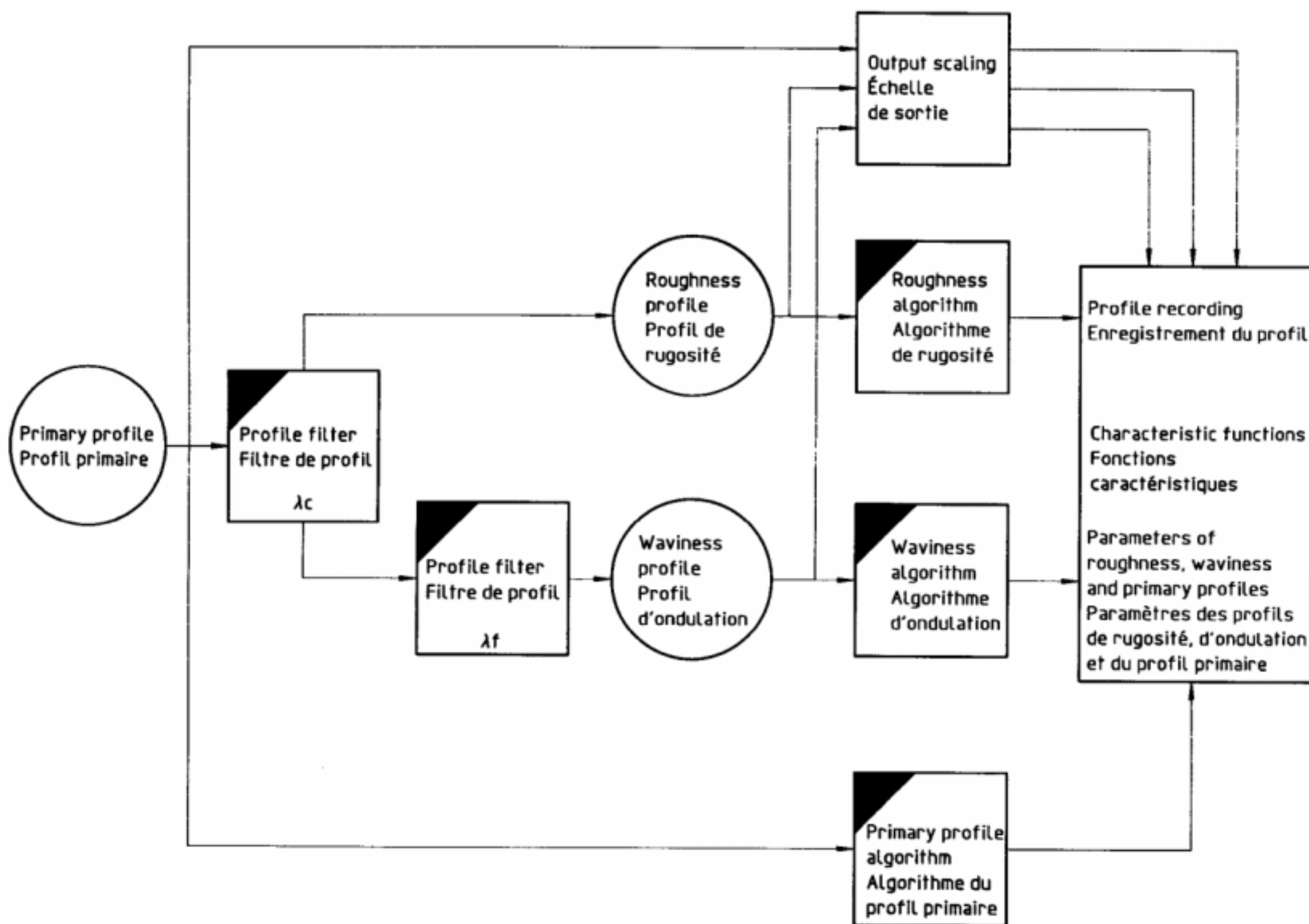
<b>Parameter Paramètre</b>	<b>Text equivalent Équivalent textuel</b>
<i>PΔq</i>	Pdq
<i>RΔq</i>	Rdq
<i>WΔq</i>	Wdq
<i>Pδc</i>	Pdc
<i>Rδc</i>	Rdc
<i>Wδc</i>	Wdc
<i>λs</i>	Ls
<i>λc</i>	Lc
<i>λf</i>	Lf

**Annex B**  
(informative)

**Flowchart for surface assessment**

**Annexe B**  
(informative)

**Diagramme pour l'évaluation  
de surface**



**Figure B.1**

**Annex C**  
(informative)

**Comparison of basic terms  
and parameter symbols between  
ISO 4287-1:1984 and ISO 4287:1997**

**Annexe C**  
(informative)

**Comparaison des symboles  
des termes de base  
et des paramètres entre  
l'ISO 4287-1:1984 et l'ISO 4287:1997**

**Table C.1 — Basic terms  
Tableau C.1 — Termes de base**

Clause in 1997 edition Paragraphe de l'édition 1997	Basic terms, 1997 edition Termes de base de l'édition 1997	1984 edition Édition 1984	1997 edition Édition 1997
3.1.9	Sampling length Longueur de base	$l$	$l_p, l_w, l_r^{1)}$
3.1.10	Evaluation length Longueur d'évaluation	$l_n$	$l_n$
3.2.8	Ordinate value Ordonnée	$y$	$Z(x)$
3.2.9	Local slope Pente locale	—	$\frac{dZ}{dX}$
3.2.10	Profile peak height Hauteur d'une saillie du profil	$y_p$	$Z_p$
3.2.11	Profile valley depth Profondeur d'un creux du profil	$y_v$	$Z_v$
3.2.12	Profile element height Hauteur d'un élément du profil	—	$Z_t$
3.2.13	Profile element width Largeur d'un élément du profil	—	$X_s$
3.2.14	Material length of profile at the level $c$ Longueur portante du profil à un niveau $c$	$\eta_p$	$Ml(c)$
<p>1) The sampling lengths for the three different profiles are named: <math>l_p</math> (primary profile), <math>l_w</math> (waviness profile), <math>l_r</math> (roughness profile).</p> <p>1) Les longueurs de base correspondant aux trois différents profils sont symbolisées: <math>l_p</math> (profil primaire), <math>l_w</math> (profil d'ondulation) et <math>l_r</math> (profil de rugosité).</p>			

**Table C.2 — Parameters of surface texture**  
**Tableau C.2 — Paramètres d'état de surface**

Clause in 1997 edition Paragraphe de l'édition 1997	Parameters, 1997 edition Paramètre de l'édition 1997	1984 edition Édition 1984	1997 edition Édition 1997	Determined within Déterminé sur	
				evaluation length longueur d'évaluation $l_n$	sampling length <sup>1)</sup> longueur de base <sup>1)</sup>
4.1.1	Maximum profile height Hauteur maximale de saillie	$R_p$	$Rp^{2)}$		X
4.1.2	Maximum profile valley depth Profondeur maximale de creux	$R_m$	$Rv^{2)}$		X
4.1.3	Maximum height of the profile Hauteur maximale du profil	$R_y$	$Rz^{2)}$		X
4.1.4	Mean height of the profile Hauteur moyenne des éléments du profil	$R_c$	$Rc^{2)}$		X
4.1.5	Total height of the profile Hauteur totale du profil	—	$R_t^{2)}$	X	
4.2.1	Arithmetical mean deviation of the assessed profile Écart moyen arithmétique du profil évalué	$R_a$	$Ra^{2)}$		X
4.2.2	Root mean square deviation of the assessed profile Écart moyen quadratique du profil évalué	$R_q$	$Rq^{2)}$		X
4.2.3	Skewness of the assessed profile Facteur d'asymétrie du profil évalué	$S_k$	$Rsk^{2)}$		X
4.2.4	Kurtosis of the assessed profile Facteur d'aplatissement du profil évalué	—	$Rku^{2)}$		X
4.3.1	Mean width of the profile elements Largeur moyenne des éléments du profil	$S_m$	$RSm^{2)}$		X
4.4.1	Root mean square slope of the assessed profile Pente quadratique moyenne du profil évalué	$\Delta_q$	$R\Delta q^{2)}$		X
4.5.1	Material ratio of the profile Taux de longueur portante		$Rmr(c)^{2)}$	X	
4.5.3	Profile section height difference Différence de hauteur de coupe du profil	—	$R\delta c^{2)}$	X	
4.5.4	Relative material ratio Taux de longueur portante relatif	$t_p$	$Rmr^{2)}$	X	
—	Ten point height (deleted as an ISO parameter) Hauteur sur dix points (paramètre ISO supprimé)	$R_z$	—		

1) This sampling length is  $l_r$ ,  $l_w$  and  $l_p$  for  $R$ -,  $W$ - and  $P$ -parameters respectively;  $l_p$  is equal to  $l_n$ .

2) Parameters which are defined for three profiles: primary profiles, waviness profile and roughness profiles. Only the roughness profile parameter is indicated in the table. As an example, the three parameters are written  $Pa$  (primary profile),  $Wa$  (waviness profile) and  $Ra$  (roughness profile).

1) Cette longueur de base est  $l_r$ ,  $l_w$  et  $l_p$  pour les paramètres  $R$ ,  $W$  et  $P$  respectivement;  $l_p$  est égal à  $l_n$ .

2) Paramètres définis sur les dix profils: profil primaire, profil d'ondulation et profil de rugosité. Seul le paramètre du profil de rugosité est symbolisé dans les tableaux. À titre d'exemple, les trois paramètres sont symbolisés, respectivement,  $Pa$  (profil primaire),  $Wa$  (profil d'ondulation) et  $Ra$  (profil de rugosité).

## **Annex D** (informative)

### **Relationship to the GPS matrix model**

For full details about the GPS matrix model, see ISO/TR 14638.

#### **D.1 Information about this International Standard and its use**

ISO 4287 is a major rewrite and reorganization of ISO 4287-1:1984 that, together with ISO 11562 and ISO 3274, additionally defines the waviness profile, the primary profile and their parameters in a consistent manner.

#### **D.2 Position in the GPS matrix model**

This International Standard is a general GPS standard that influences chain link 2 of the chains of standards on roughness profile, waviness profile and primary profile in the general GPS matrix, as graphically illustrated in figure D.1.

#### **D.3 Related International Standards**

The related International Standards are those of the chains of standards indicated in figure D.1.

## **Annexe D** (informative)

### **Relation avec la matrice GPS**

Pour de plus amples renseignements à propos de la matrice GPS, voir l'ISO/TR 14638.

#### **D.1 Information sur la présente Norme internationale et son utilisation**

La présente Norme internationale constitue une réorganisation et une réécriture importantes de l'ISO 4287-1:1984; avec l'ISO 11562 et l'ISO 3274, elle ajoute, de façon cohérente, les définitions du profil d'ondulation, du profil primaire ainsi que de leurs paramètres.

#### **D.2 Situation dans la matrice GPS**

La présente Norme internationale est une norme GPS générale, qui influence le maillon 2 des chaînes de normes relatives au profil de rugosité, au profil d'ondulation et au profil primaire de la matrice GPS générale, comme illustré à la figure D.1.

#### **D.3 Normes internationales associées**

Les Normes internationales associées sont celles des chaînes de normes indiquées sur la figure D.1.

**Fundamental  
GPS  
standards**

Global GPS standards						
General GPS matrix						
Chain link number	1	2	3	4	5	6
Size						
Distance						
Radius						
Angle						
Form of line independent of datum						
Form of line dependent on datum						
Form of surface independent of datum						
Form of surface dependent on datum						
Orientation						
Location						
Circular run-out						
Total run-out						
Datums						
Roughness profile						
Waviness profile						
Primary profile						
Surface imperfections						
Edges						

Figure D.1

**Normes  
GPS  
de base**

Normes GPS globales						
Matrice GPS générale						
Mallou n°	1	2	3	4	5	6
Taille						
Distance						
Rayon						
Angle						
Forme d'une ligne indépendante d'une référence						
Forme d'une ligne dépendante d'une référence						
Forme d'une surface indépendante d'une référence						
Forme d'une surface dépendante d'une référence						
Orientation						
Position						
Battement circulaire						
Battement total						
Références						
Profil de rugosité						
Profil d'ondulation						
Profil primaire						
Imperfections de surface						
Arêtes						

Figure D.1

**Annex E**  
(informative)  
**Bibliography**

**Annexe E**  
(informative)  
**Bibliographie**

- |  |  |
|--|--|
| <p>[1] ISO/TR 14638:1995, <i>Geometrical Product Specification (GPS) — Masterplan</i>.</p> <p>[2] VIM:1993, <i>International vocabulary of basic and general terms in metrology</i>. BIPM, IEC, IFCC, ISO, IUPAC, IUPAP, OIML.</p> | <p>[1] ISO/TR 14638:1995, <i>Spécification géométrique des produits (GPS) — Schéma directeur</i>.</p> <p>[2] VIM:1993, <i>Vocabulaire international des termes fondamentaux et généraux de métrologie</i>. BIPM, CEI, FICC, ISO, OIML, UICPA, UIPPA.</p> |
|--|--|

**Annex ZA (normative)**  
**Normative references to international publications with their relevant European publications**

This European Standard incorporates by dated or undated reference, provisions from other publications. These normative references are cited at the appropriate places in the text and the publications are listed hereafter. For dated references, subsequent amendments to or revisions of any of these publications apply to this European Standard only when incorporated in it by amendment or revision. For undated references the latest edition of the publication referred to applies.

<u>Publication</u>	<u>Year</u>	<u>Title</u>	<u>EN</u>	<u>Year</u>
ISO 4288	1996	Geometrical product specifications (GPS) - Surface texture: Profile method - Rules and procedures for the assessment of surface texture	EN ISO 4288	1997
ISO 11562	1996	Geometrical product specifications (GPS) - Surface texture: Profile method - Metrological characteristics of phase correct filter	EN ISO 11562	1997